

GM 53741

RAPPORT DE LA CARTOGRAPHIE 1994, PROJET LG3

Documents complémentaires

Additional Files



Licence



Licence

Cette première page a été ajoutée
au document et ne fait pas partie du
rapport tel que soumis par les auteurs.

Énergie et Ressources
naturelles

Québec 

DE GES
QUEBEC

'96 FEV 12 10:40

MINES ET EXPLORATION NORANDA INC.
RAPPORT DE CARTOGRAPHIE
1994
PROJET LG3
CANTON 3220 33 G/12

MRN - S.I.S.E.M.	1996/06
GM 53741	

Matagami, Québec
Janvier 1996

Mario Masson
B.Sc. Géol.

96045021

TABLE DES MATIÈRES

Table des Matières	i
Sommaire des Coûts	ii
Certification	iii
1.0 Introduction	1
2.0 Localisation et Accès	1
3.0 Statut des claims	1
4.0 Géologie Régionale	1
5.0 Géologie de la propriété	5
6.0 Travaux 1994	5
6.1 Cartographie	6
6.2 Tranchées	7
6.3 Échantillonnage en rainures	7
7.0 Conclusions et recommandations	8
<u>Liste des Figures</u>	
Figure 1: Localisation	2
Figure 2: Carte de Claims	3
Figure 3: Géologie Régionale	4
<u>Liste des Tableaux</u>	
Tableau 1: Meilleurs résultats des tranchées	7
Tableau 2: Meilleurs résultats des rainures	8
<u>Liste des Annexes</u>	
Annexe 1: Liste de claims	
Annexe 2: Résultats d'analyses	
Annexe 3: Description des rainures	
Annexe 4: Factures	
Liste de Cartes	
Compilation 1: 5 000 (En pochette)	

SOMMAIRE DES COÛTS

Coûts Connexes:

Cartographie Géologique

1 Géologue de Projets	25 jours à \$300.00	\$ 7 500.00
1 Géologue Jr	25 jours à \$150.00	\$ 3 750.00

Main d'oeuvre technique

1 Technicien Sr. Boutefeu	25 jours à \$250.00	\$ 6 250.00
1 Technicien de terrain	25 jours à \$150.00	\$ 3 750.00

Secrétariat	2 jours à \$200.00	\$ 400.00
-------------	--------------------	-----------

Dessinateur	5 jours à \$200.00	\$ 1 000.00
-------------	--------------------	-------------

1 Véhicule Ford 4X4	25 jours à \$80.00	\$ 2 000.00
---------------------	--------------------	-------------

Coûts Facturés:

Location Pionjar + Aciers de 12 po.	\$ 927.00
-------------------------------------	-----------

Location Scie + Lames	\$ 495.00
-----------------------	-----------

Analyses	Chimitec (Au, Ag, Cu, As) 130 X \$15.50	\$ 2 015.00
	X-Ral (Roche Entière) 39 X \$18.50	\$ 721.50

<u>TOTAL</u>	<u>\$28 808.50</u>
---------------------	---------------------------

Je certifie que la liste des dépenses représente une répartition juste et équitable des frais encourus sur la propriété LG3 pour l'été 1994.

Matagami, Québec
Janvier 1996

Mario Masson
Mario Masson, B.Sc.
Géologue de Projets



CERTIFICATION

Moi, Mario Masson, géologue, demeurant au 18 rue des Rapides à Matagami, Québec, depuis août 1990, déclare ce qui suit:

Je suis géologue depuis 1987 et je suis à l'emploi de Mines et Explorations Noranda Inc.(anciennement Explorations Noranda Ltée) depuis août 1990.

Je suis gradué de l'Université de Montréal (B.Sc. Géologie) depuis mai 1987.

Ce rapport est basé sur mes connaissances personnelles de la propriété LG-3.

J'ai visité cette propriété en quelques occasions.

Je suis membre actif de l' A.P.G.G.Q., de l'ICM et de l'APQ.

Les dépenses requises sont raisonnables et conformes aux travaux exécutés sur la propriété LG-3.

Matagami, Québec.
Janvier 1996.


Mario Masson, B.Sc. Géol.
Géologue de Projets.



1.0 INTRODUCTION

Ce rapport décrit les travaux de cartographie, de tranchées et d'échantillonnage en rainures, entrepris au cours de l'été 1994 sur la propriété LG-3 détenue par Hemlo Gold Mines Inc. Les travaux ont été effectués par le personnel de Mines et Exploration Noranda Inc. et faisaient suite aux travaux de coupe de lignes ainsi qu'aux levés géophysiques (Mag - VLF) entrepris par G.L. Géoservice au printemps de 1994.

2.0 LOCALISATION ET ACCÈS

La propriété est localisée au sud-ouest du Réservoir LG-3, à environ 8 kilomètres au sud de la centrale hydro-électrique.(Figure 1)

On peut accéder facilement à la partie nord-ouest des claims en bateau à partir de la digue qui est située juste à l'ouest du réservoir. Le trajet est d'une durée d'environ 15 à 20 minutes et permet d'accéder à la propriété par la Baie Chiskamish.

3.0 STATUT DES CLAIMS

La propriété LG-3 comprend un total de 60 claims contigus couvrant une superficie d'environ 960 hectares au nord du 53^{ième} parallèle dans le Canton 3220 et faisant partie du Feuillet N.T.S. 33 G/12. Tous les claims sont détenus par Hemlo Gold Mines Inc. et la date du premier anniversaire est le 14 mars 1996.(Figure 2)

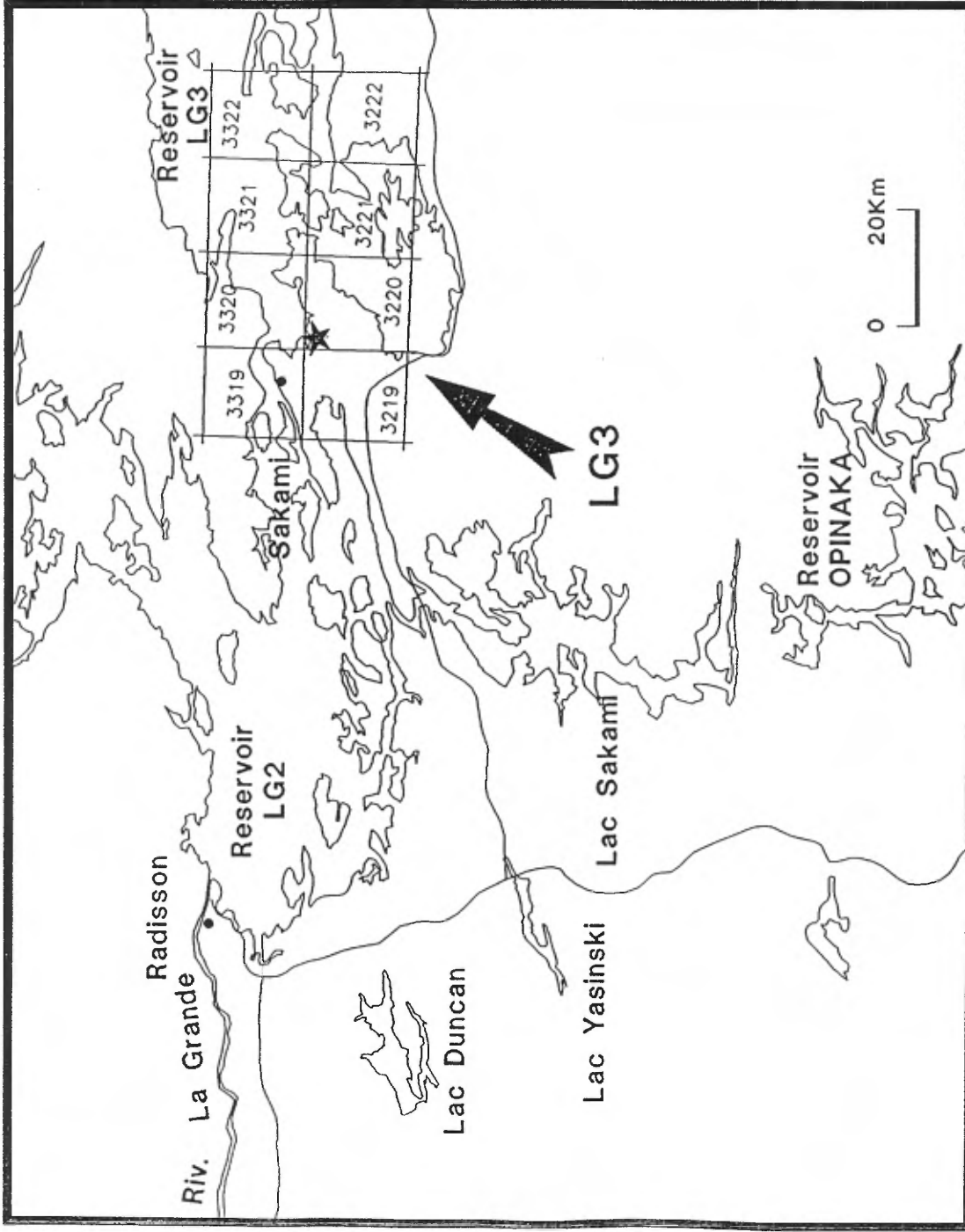
La liste complète des claims ainsi que tous les détails s'y rattachant sont en Annexe I.

4.0 GÉOLOGIE RÉGIONALE

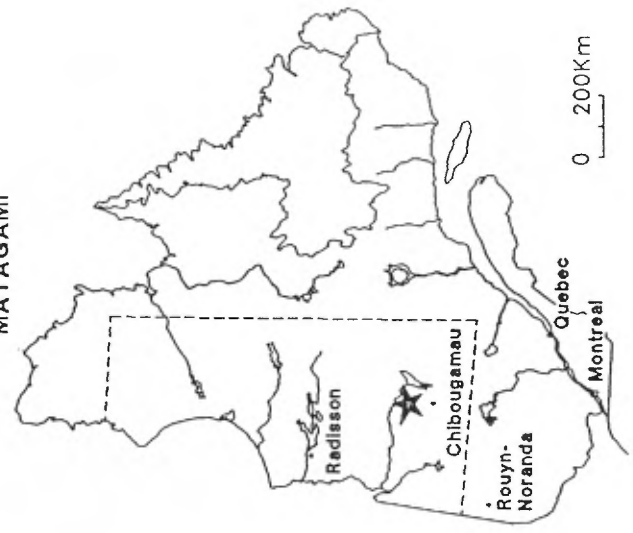
Les roches appartenant au bassin de La Grande Rivière sont d'âge Archéen et font partie de la Province Géologique du Supérieur. Cette bande volcanosédimentaire s'étend d'est en ouest sur environ 350 km (Figure 3).

Le socle tonalitique, qui a été daté à environ 2811 Ma, est en discordance majeure avec une séquence de plateforme arénitique à conglomérats uranifères pyriteux intercalée de niveaux d'argilites, de formations de fer et de volcanites ultramafiques qui forment parfois des lopolithes à chromitites litées. Quelques complexes volcaniques felsiques ont été reconnus et sont généralement de faibles dimensions.

Cette plateforme est en discordance majeure avec les plaines de laves basaltiques sus-jacentes et est marquée par l'arrivée des conglomérats polygéniques immatures composés de fragments de toutes les unités sous-jacentes (basaltes, komatiites,



DISTRICT
OF
MATAGAMI



noranda

LG3

RESERVOIR



LG3

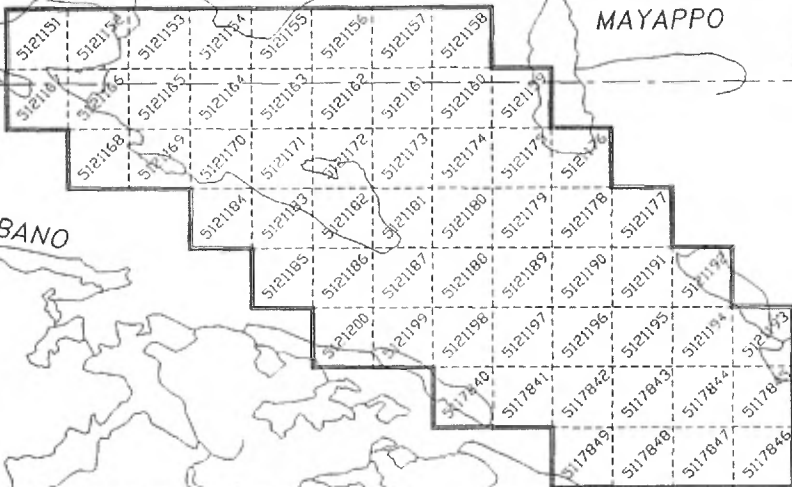
BAIE
MAYAPPO

3320

3220

LAC

PEPABANO

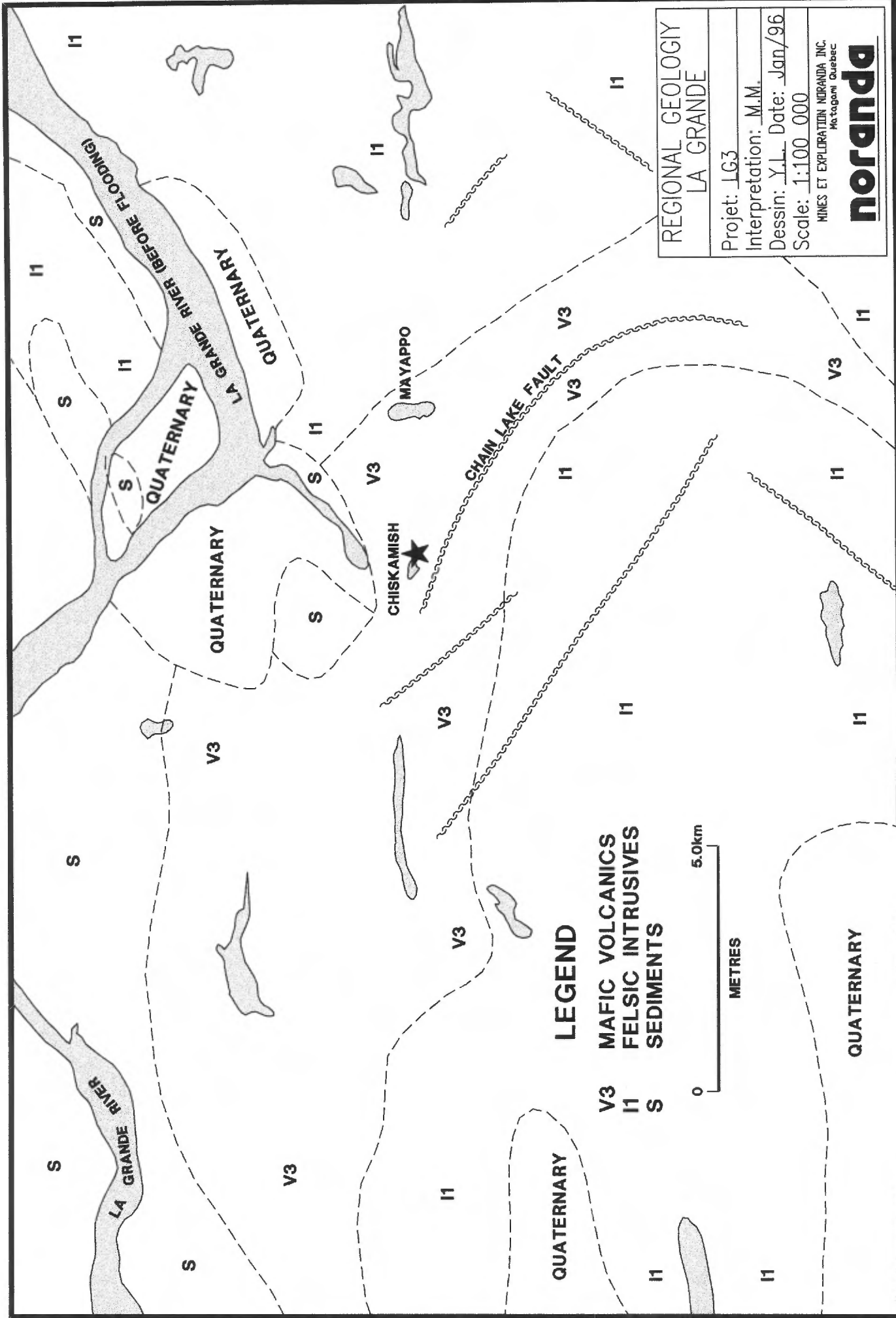


BAIE
COOKISH



SCALE 1=50000
CLLG3
12/04/94 33G/12

RESERVOIR



**REGIONAL GEOLOGY
LA GRANDE**

Projet: JG3
 Interpretation: M.M.
 Dessin: Y.L. Date: Jan/96
 Scale: 1:100 000

MINES ET EXPLORATION NORANDA INC.
 Matagami Québec

noranda

LEGEND

V3 MAFIC VOLCANICS
 I1 FELSIC INTRUSIVES
 S SEDIMENTS

0 5.0km
 METRES

formations de fer etc...). Ces conglomérats passent à de puissantes formations de fer qui sont surmontées par des métagrauwackes à patine rouillée.

Une granodiorite porphyrique s'est mise en place au nord entre la ceinture de La Grande et les gneiss du Lac Bienville. Ce batholite granodioritique a été daté à 2712 Ma. Donc, l'âge de la ceinture volcanique devrait se situer quelque part entre 2712 et 2811 Ma.

Un système de failles conjuguées NO-SE et NE-SO vient affecter et démembrer le batholite de même que la ceinture de La Grande. Ce système recoupe également des failles plus anciennes sub-parallèles à la foliation régionale.

5.0 GÉOLOGIE DE LA PROPRIÉTÉ

Les roches que l'on retrouve sur la propriété sont composées majoritairement de basaltes amphibolitisés massifs et coussinés, intercalés d'horizons de formations de fer localement altérées (quartz + amphiboles + sulfures: Py-Po-Aspy) mais qui généralement montrent plutôt un rubanement composé de magnétite massive avec un peu de quartz. Quelques intrusions porphyriques et dykes de gabbro recourent la séquence dans la partie nord.

Le secteur du Lac Chiskamish semble avoir été particulièrement affecté par la déformation. En effet, les levés géophysiques montrent plusieurs axes magnétiques et conducteurs correspondant aux formations de fer et qui suggèrent du plissement avec des évidences de boudinage dans la formation de fer du nord et un phénomène d'épaississement dans la formation de fer du sud du Lac Chiskamish. Quelques failles de direction E-O et N-S ont été interprétées par les auteurs du rapport géophysique.

On retrouve plusieurs indices aurifères sur la propriété ainsi que des anomalies en cuivre. Les anomalies en or sont généralement retrouvées dans les zones déformées et altérées des formations de fer. La présence de sulfures tels que la pyrite, la pyrrhotine et l'arsénopyrite est fréquemment remarquée dans ces zones anomaliques. Ces sulfures remplacent la magnétite dans les zones altérées et l'augmentation des veinules de quartz sub-concordantes à discordantes est notable. Dans le secteur de la Baie Mayapo, plusieurs anomalies en cuivre ont été rapportées, celles-ci sont en association avec des veines de quartz ou encore dans les bordures de coussins.

6.0 TRAVAUX 1994

Durant l'été 1994, une cartographie à l'échelle de 1: 5000 a été entreprise sur la partie ouest de la grille dans le secteur du Lac Chiskamish. Une reconnaissance a également fait partie des travaux dans le secteur de la Baie Mayapo. Cette propriété comprend plusieurs zones d'affleurements tel que montré sur la carte géologique.

Conjointement à la cartographie, des travaux d'échantillonnage en rainures et le dynamitage de trois tranchées ont également été complétés.

6.1 Cartographie

La cartographie géologique a permis de mieux définir l'occurrence des différentes formations de fer ainsi que les zones de plissements possibles. En effet, en mesurant l'orientation du litage primaire, on peut observer des zones de flexures à l'échelle de l'affleurement. La formation de fer au nord du Lac Chiskamish est boudinée et généralement très altérée (silicifiée, amphibolitisée et transformée en sulfures de fer et arsénopyrite localement aurifère). La direction générale des unités est nord-ouest ($290-300^{\circ}$) avec un pendage faible ($50-60^{\circ}$) vers le nord-est.

Les Basaltes

La majorité des roches rencontrées sur la propriété sont des basaltes amphibolitisés. La granulométrie de ces roches est généralement à grains moyens variant de 2 à 5 mm. Ils sont majoritairement composés d'un assemblage de hornblende et de feldspath en proportion d'environ 50-50% et parfois 30-70%. Une quantité variable de grenats se trouve localement dans ces roches qui sont généralement affectées par une forte schistosité pénétrative de direction générale 290 à 315 degrés. Localement, des coussins ont pu être reconnus avec certitude même si ceux-ci sont parfois étirés dans une proportion de 5:1.

Les Formations de Fer

Principalement deux horizons de formations de fer ont été cartographiés durant l'été. La formation de fer au sud du Lac Chiskamish est généralement rubannée avec 80 à 90 % de magnétite massive et 10 à 20 % de quartz. Cette formation de fer semble se diviser en deux dans la partie ouest avec un certain épaissement. Dans la partie est, celle-ci semble plutôt former qu'un seul horizon de dimension beaucoup plus restreinte.

La formation de fer au nord et à l'est du Lac Chiskamish est quant à elle beaucoup plus déformée et altérée. Cette formation est démembrée et boudinée en trois ou quatre sections qui montrent toutes un fort degré d'altération. De plus, on observe localement une importante sulfurisation (Py-Po-Aspy) qui peut contenir des teneurs anormales en or. Souvent dans ces zones, la magnétite est presque entièrement transformée ou n'apparaît qu'en reliques ou fragments dans des zones bréchiques. Tous les indices aurifères proviennent de cette formation de fer.

Les Sédiments

Quelques minces bandes de sédiments "lités" ont été reconnus non loin des formations de fer. Ces sédiments fins (siltstones), contiennent jusqu'à 10% de biotite et

sont facilement reconnaissable en bordure du réservoir ou l'on peut avoir une coupe stratigraphique complète. Ces sédiments ont également été reconnus sur la ligne 7E à 650S en contact avec une formation de fer.

Les Intrusions

Un intrusif felsique à intermédiaire contenant jusqu'à 30-40% de porphyres de feldspaths a été reconnu à l'est du Lac Chiskamish ainsi que quelques dykes de gabbros magnétiques de direction est-ouest.

Les données structurales ont été recueillies à l'aide d'un appareil fabriqué à partir des données sur la position du soleil à chaque période de la journée. Évidemment, l'usage de la boussole n'est pas conseillée dans ce secteur! Un total de 39 échantillons ont été recueillis et envoyés au laboratoire X-Ral pour analyses lithogéochimiques.

6.2 Tranchées

Trois tranchées ont été faites sur l'indice Chiskamish qui se trouve à l'est du lac du même nom. Les tranchées ont été creusées avec l'aide du dynamitage par le personnel de M&E Noranda Inc. Deux de ces tranchées montrent un contact entre une formation de fer altérée et des basaltes silicifiés, l'autre est située au coeur de la formation de fer. La localisation, la description et la cartographie détaillée de ces tranchées se trouvent sur la carte de compilation géologique. Les meilleurs résultats sont résumés dans le tableau 1.

Tableau 1 : Meilleurs résultats des tranchées

Tranchée N^o : 1: Moyenne de 821.4 ppb (0.82 g/t Au) sur 3.30 mètres,
incluant 1.1 g/t Au sur 2.10 m.

Tranchée N^o : 2: Moyenne de 45.1 ppb (0.05 g/t Au) sur 5.90 mètres,
incluant 0.3 g/t Au sur 0.40 m.

Tranchée N^o : 3: Moyenne de 478.1 ppb (0.48 g/t Au) sur 8.40 mètres,
incluant 1.4 g/t Au sur 1.00 m,
1.9 g/t Au sur 0.50 m,
1.5 g/t Au sur 0.50 m.

6.3 Échantillonnage en rainures

Un total de 18 rainures ont été sciées et échantillonnées dans trois secteurs principaux correspondant aux portions de formations de fer altérées. Le premier secteur échantillonné est situé à l'ouest de la ligne 0E, juste sur la bordure du réservoir. Un total de 11 rainures y ont été faites. Trois autres rainures ont été faites sur l'Indice Chiskamish à l'est du Lac et finalement, quatre rainures ont été faites au nord du lac. La localisation

précise de ces rainures est montrée en agrandissement sur la carte de compilation géologique. Les résultats d'analyses détaillés se trouvent à l'Annexe 2 et les meilleurs résultats sont résumés au tableau 2.

Tableau 2 : Meilleurs résultats des rainures

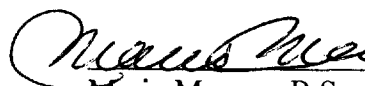
Rainure N ^o : 12	0.8 g/t Au sur 0.50 mètre,
Rainure N ^o : 14	1.6 g/t Au sur 0.50 mètre,
Rainure N ^o : 17	1.3 g/t Au sur 0.50 mètre,
Rainure N ^o : 18	0.4 g/t Au sur 1.00 mètre.

7.0 CONCLUSION ET RECOMMANDATIONS

Les travaux de 1994 ont permis de mettre en évidence le potentiel aurifère du projet LG-3. En effet, la présence de plusieurs indices d'or dans des formations de fer altérées et très déformées, vient confirmer ce potentiel, en particulier dans le secteur du Lac Chiskamish, où il y a de fortes évidences de plissements et de cisaillements majeurs.

Il est recommandé de compléter les travaux de coupe de lignes et de géophysique entre le secteur Chiskamish et le secteur Mayapo. Les conducteurs devraient tous être vérifiés par tranchées si possible. Enfin quelques sondages courts devraient tester les zones de complexités structurales

Matagami, Québec,
Janvier 1996.


Mario Masson, B.Sc., Géol.
Géologue de Projets



ANNEXE 1
LISTE DE CLAIMS

Operator: Paul Hasse
 Date: 05/24/94
 Time: 14:42:39

CLAIM GROUP INVENTORY FOR L63

District: Matagani

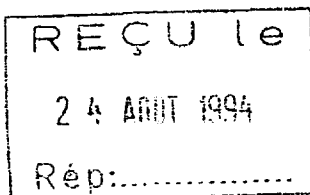
Acct#	Pfx	Claim #	Block #	NTS#	Twp/Area	Regd. Owner	Recording Date	Acres	Hectares	Kms	Renewal Fee	Renewal Fee Due	Work Due	Work Due Date	Excess Credits	Remarks
25856	C	5,121,190		33612 3220		HEMLO GOLD MINES INC.	05/15/94	39.54	16.00		22.00	05/14/96	500	03/14/96	0	
25856	C	5,121,191		33612 3220		HEMLO GOLD MINES INC.	05/15/94	39.54	16.00		22.00	05/14/96	500	03/14/96	0	
25856	C	5,121,192		33612 3220		HEMLO GOLD MINES INC.	05/15/94	39.54	16.00		22.00	05/14/96	500	03/14/96	0	
25856	C	5,121,193		33612 3220		HEMLO GOLD MINES INC.	05/15/94	39.54	16.00		22.00	05/14/96	500	03/14/96	0	
25856	C	5,121,194		33612 3220		HEMLO GOLD MINES INC.	05/15/94	39.54	16.00		22.00	05/14/96	500	03/14/96	0	
25856	C	5,121,195		33612 3220		HEMLO GOLD MINES INC.	05/15/94	39.54	16.00		22.00	05/14/96	500	03/14/96	0	
25856	C	5,121,196		33612 3220		HEMLO GOLD MINES INC.	05/15/94	39.54	16.00		22.00	05/14/96	500	03/14/96	0	
25856	C	5,121,197		33612 3220		HEMLO GOLD MINES INC.	05/15/94	39.54	16.00		22.00	05/14/96	500	03/14/96	0	
25856	C	5,121,198		33612 3220		HEMLO GOLD MINES INC.	05/15/94	39.54	16.00		22.00	05/14/96	500	03/14/96	0	
25856	C	5,121,199		33612 3220		HEMLO GOLD MINES INC.	05/15/94	39.54	16.00		22.00	05/14/96	500	03/14/96	0	
25856	C	5,121,200		33612 3220		HEMLO GOLD MINES INC.	05/15/94	39.54	16.00		22.00	05/14/96	500	03/14/96	0	
TOTALS		60						2,372.40	960.00	0	1,320.00		30,000		0	

ANNEXE 2
RÉSULTATS D'ANALYSES

XRAL

LES LABORATOIRES XRAL LABORATORIES

UNE DIVISION DE / DIVISION OF SGS INC.
150, 13^e RUE • ROUYN-NORANDA • QUÉBEC J9X 2H6
TÉL.: (819) 764-9108 FAX: (819) 764-4673



votre ref: 856

notre ref: 19209/2670

CERTIFICAT D'ANALYSE/ASSAY CERTIFICATE

15 Aout 1994

EXPLORATION NORANDA LTEE.
C.P. 1270
MATAGAMI, QC.
JOY 2A0
ATTENTION: M. MASSON

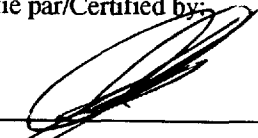
Date soumis/Submitted: le 20 Juillet 1994

No. d'échantillons: 39

No. de page : 3

ELEMENTS	METHODE	LIMITE DE DETECTION
WRMAJ %	XRF/WR	0.01
WRMIN PPM	XRF/WR	10.
BA PPM	XRF/WR	50.

Certifié par/Certified by:



J.J. Landers Gerant/Manager

SAMPLE	NA2O %	NaO %	AL2O3 %	SiO2 %	P2O5 %	K2O %	CaO %	TiO2 %	CR2O3 %	MNO %	FE2O3 %
	XRF-F 0.01	XRF-F 0.001	XRF-F 0.01	XRF-F 0.01	XRF-F 0.01						
55501	1.83	6.29	16.1	46.3	.06	.98	7.06	.933	.01	.20	14.5
55502	3.99	3.17	15.3	60.8	.12	2.22	3.39	.803	.01	.08	6.59
55503	2.17	7.16	15.1	48.7	.06	.72	7.66	.931	.03	.19	13.3
55504	3.37	6.28	16.2	54.4	.12	1.36	3.79	.734	.07	.21	10.4
55505	3.18	2.90	12.7	45.2	.07	.37	12.4	1.14	.01	.41	11.1
55506	4.37	.93	14.2	69.3	.06	1.86	2.75	.361	.01	.06	2.76
55507	4.14	4.20	14.1	58.0	.16	1.68	4.86	.627	.03	.12	8.04
55509	5.37	1.06	15.9	67.7	.08	1.47	3.15	.440	<.01	.05	2.43
55509	2.06	2.72	11.0	65.1	.06	1.24	3.94	.598	.03	.12	10.8
55510	2.13	8.29	15.6	50.3	.05	.68	8.59	.750	.04	.17	11.6
55511	4.04	8.53	13.9	51.9	.04	1.29	7.14	.453	.05	.19	10.1
55512	4.61	2.12	15.7	65.8	.16	3.38	1.05	.528	<.01	.06	4.90
55701	2.39	5.92	16.1	53.0	.05	.32	8.75	1.09	.05	.18	11.3
5702	2.41	2.05	10.5	75.0	.09	1.14	2.03	.430	.04	.10	5.25
5703	3.56	4.89	16.0	58.2	.11	.83	6.55	.747	.03	.14	8.20
55704	3.67	5.16	13.8	55.9	.20	1.23	5.90	.660	.07	.14	9.05
55705	2.19	2.64	11.7	56.9	.12	1.42	1.76	.366	.02	.08	20.6
5706	3.89	9.55	13.8	50.7	.04	1.24	6.59	.470	.06	.20	10.1
5707	3.47	7.10	13.5	56.6	.22	3.45	3.21	.636	.05	.14	8.77
55708	4.14	9.82	13.4	47.6	.05	.96	7.02	.434	.05	.17	9.95
55709	.41	4.17	12.5	66.0	.10	2.89	1.09	.310	<.01	.05	3.77
55710	3.74	5.77	16.0	60.3	.13	.98	4.34	.730	.03	.12	6.35
5711	4.08	4.94	14.8	61.5	.11	.56	4.95	.678	.03	.12	7.36
5712	3.09	3.42	12.7	53.6	.11	.25	5.28	1.95	<.01	.28	18.6
55713	1.87	6.81	13.1	49.5	.07	.22	7.43	1.17	.03	.25	14.3
55714	1.82	7.97	12.7	50.8	.05	.16	9.02	.901	.03	.25	14.3
5715	2.21	8.03	18.4	41.6	.06	1.82	3.35	1.35	.04	.27	18.0
5716	1.94	7.44	14.3	48.6	.06	.86	8.53	.997	.02	.21	14.3
55717	3.06	7.20	15.2	48.9	.07	2.69	4.70	1.09	.02	.22	14.0
55718	5.64	5.35	13.3	60.8	.17	1.03	4.48	.503	.05	.13	6.75
55719	3.40	4.81	14.6	50.9	.10	.84	7.25	1.11	.03	.36	13.0
5720	1.66	6.07	15.2	48.0	.03	.42	8.01	.856	.03	.30	16.9
5721	1.63	8.08	14.3	49.6	.03	.80	10.3	.641	.06	.19	12.7
55722	1.59	5.77	15.7	50.6	.04	1.63	7.04	.789	.05	.33	12.7
55723	1.46	3.07	15.4	49.9	.08	.49	12.3	1.27	.02	.29	13.4
5724	.80	3.39	14.5	52.8	.04	1.06	8.48	.862	.04	.72	14.3
5725	2.56	5.03	14.2	60.1	.13	.58	7.06	.693	.04	.21	8.16
55726	1.65	4.46	14.4	50.8	.10	.77	7.73	1.62	.01	.45	16.9
55727	.28	4.04	17.9	50.5	.10	3.62	.88	.818	<.01	.08	17.7
55501	1.87	6.27	16.1	46.3	.06	.98	7.05	.931	.01	.20	14.5
5702	2.42	2.04	10.5	74.9	.09	1.16	2.03	.435	.04	.10	5.27
5716	1.95	7.41	14.4	48.5	.06	.88	8.47	.997	.02	.21	14.3

SAMPLE	RB PPM	SR PPM	Y PPM	ZR PPM	NB PPM	BR PPM	LOI %	SUM %
	XRF-F 10	XRF-F 10	XRF-F 10	XRF-F 10	XRF-F 10	XRF-F 50	XRF-F 0.01	XRF-F 0.1
55501	14	108	28	130	<10	140	5.85	100.2
55502	40	175	22	170	<10	323	3.65	100.2
55503	<10	110	22	108	<10	118	3.60	99.7
55504	36	266	<10	104	<10	271	3.15	100.2
55505	<10	76	18	73	<10	76	10.8	100.3
55506	55	287	<10	85	<10	292	3.60	100.3
55507	33	309	11	115	<10	453	4.45	100.5
55508	31	350	<10	105	<10	201	2.45	100.2
55509	53	202	<10	68	<10	190	2.45	100.2
55510	20	164	12	49	<10	93	1.60	99.8
55511	31	152	10	56	<10	491	2.40	100.1
55512	106	291	10	134	<10	791	1.85	100.3
5701	<10	115	16	66	<10	69	1.20	100.4
55702	27	296	11	85	<10	320	1.05	100.2
55703	20	244	<10	108	<10	192	.75	100.1
55704	22	406	13	117	<10	411	4.60	100.5
55705	59	224	<10	110	<10	288	2.30	100.2
55706	20	95	11	53	<10	286	3.35	100.0
55707	67	148	<10	108	<10	529	3.20	100.4
55708	23	87	16	49	<10	232	6.95	100.6
55709	100	48	<10	78	<10	391	3.75	100.1
55710	25	271	10	121	<10	219	1.90	100.5
55711	10	198	13	107	<10	160	.95	100.1
55712	<10	84	34	111	<10	54	.95	100.3
55713	<10	72	17	66	<10	87	5.60	100.4
55714	<10	88	16	50	<10	<50	1.50	99.5
55715	36	53	17	75	<10	210	5.10	100.3
55716	18	110	15	58	<10	102	2.90	100.2
55717	57	52	19	61	<10	186	3.00	100.2
55718	<10	91	11	81	<10	161	1.95	100.2
55719	25	81	16	82	<10	171	3.75	100.2
55720	<10	48	15	53	<10	94	1.85	99.4
55721	17	84	11	58	<10	22	1.75	100.4

SAMPLE	RB PPM	SR PPM	Y PPM	ZR PPM	NE PPM	BA PPM	LOI %	SUM %
	XRF-F	XRF-F	XRF-F	XRF-F	XRF-F	XRF-F	XRF-F	XRF-F
	10	10	10	10	10	50	0.01	0.1
55722	56	105	11	46	<10	1000	3.75	100.1
55723	<10	156	26	84	<10	152	2.45	100.2
55724	22	55	14	47	<10	140	3.25	100.3
55725	10	263	<10	108	<10	103	1.55	100.4
55726	18	86	26	95	<10	132	1.60	100.5
55727	113	42	<10	100	<10	902	4.10	100.1
I 55501	25	106	24	126	<10	126	5.95	100.3
D 55702	25	286	<10	83	<10	326	1.05	100.1
D 55716	11	111	19	61	<10	106	2.90	100.1

RAPPORT: C94-61090.0 (COMPLET)

DATE DE L'IMPRESSION: 4-AUG-94

PROJET: 856

PAGE 1

NUMÉRO DE L'ÉCHANTILLON	ÉLÉMENT UNITÉS	Au30 PPB	Cu PPM	Ag PPM	As PPM	NUMÉRO DE L'ÉCHANTILLON	ÉLÉMENT UNITÉS	Au30 PPB	Cu PPM	Ag PPM	As PPM
51301-M		<5	6	0.1	3.6	51341-M		<5	4	<0.1	123.0
51302-M		<5	4	0.3	4.3	51342-M		<5	3	<0.1	332.0
51303-M		<5	4	<0.1	3.4						
51304-M		<5	3	<0.1	1.3						
51305-M		<5	3	0.1	2.4						
51306-M		<5	3	0.2	1.8						
51307-M		<5	5	0.2	1.6						
51308-M		<5	4	<0.1	2.4						
51309-M		5	3	0.1	3.0						
51310-M		<5	5	0.1	6.5						
51311-M		<5	5	<0.1	4.1						
51312-M		<5	4	0.1	38.0						
51313-M		<5	6	0.2	5.1						
51314-M		<5	7	0.2	7.9						
51315-M		<5	4	0.1	14.0						
51316-M		<5	3	0.1	6.5						
51317-M		<5	3	0.3	9.2						
51318-M		5	5	0.2	16.0						
51319-M		<5	4	0.4	4.3						
51320-M		6	6	<0.1	9.4						
51321-M		72	6	<0.1	118.0						
51322-M		148	7	<0.1	476.0						
51323-M		78	6	0.2	313.0						
51324-M		72	11	0.2	259.0						
51325-M		80	9	0.1	68.0						
51326-M		113	7	0.3	166.0						
51327-M		35	7	0.1	49.0						
51328-M		153	9	0.4	617.0						
51329-M		517	12	0.4	5850.0						
51330-M		722	21	0.6	>10000						
51331-M		2237	15	1.2	>10000						
51332-M		784	14	0.7	>10000						
51333-M		1217	24	1.0	>10000						
51334-M		76	5	0.1	181.0						
51335-M		1707	17	0.8	6860.0						
51336-M		309	13	0.1	4330.0						
51337-M		13	6	<0.1	1670.0						
51338-M		89	3	0.2	318.0						
51339-M		<5	5	<0.1	3650.0						
51340-M		23	7	0.1	119.0						

RAPPORT: C94-61111.0 (COMPLET)

DATE DE L'IMPRESSION: 17-AUG-94

PROJET: 856

PAGE 1

NUMÉRO DE L'ÉCHANTILLON	ÉLÉMENT UNITÉS	Au30 PPB	Cu PPM	Ag PPM	As PPM
----------------------------	-------------------	-------------	-----------	-----------	-----------

51343-M		6	5	<0.1	883.0
51344-M		<5	4	<0.1	336.0
51345-M		<5	6	<0.1	906.0
51346-M		77	10	<0.1	3990.0
51347-M		818	11	0.2	>10000

51348-M		138	9	<0.1	7610.0
51349-M		6	4	<0.1	282.0
51350-M		58	5	<0.1	1110.0
51351-M		6	4	<0.1	238.0
51352-M		<5	4	<0.1	177.0

51353-M		96	8	<0.1	390.0
51354-M		88	13	<0.1	1620.0
51355-M		841	11	0.2	>10000
51356-M		14	17	<0.1	1540.0
51357-M		15	9	<0.1	333.0

51358-M		8	7	<0.1	350.0
51359-M		161	12	0.2	4580.0
51360-M		315	13	0.3	>10000
51361-M		34	12	0.2	823.0
51362-M		16	11	0.3	124.0

51363-M		<5	9	0.4	28.0
51364-M		8	38	1.0	267.0
51365-M		10	189	0.4	20.0
51366-M		<5	32	<0.1	13.0
51367-M		11	7	0.2	20.0

51368-M		48	8	0.3	30.0
51369-M		39	5	0.2	26.0
51370-M		8	5	0.2	149.0
51371-M		<5	4	<0.1	134.0
51372-M		353	11	0.4	>10000

51373-M		345	12	0.3	>10000
51374-M		753	10	0.4	>10000
51375-M		37	6	<0.1	1640.0
51376-M		6	5	<0.1	227.0
51377-M		13	9	0.2	256.0

51378-M		10	7	0.2	479.0
51379-M		1570	14	1.3	677.0

RAPPORT: C94-61112.0 (COMPLET)
 DATE DE L'IMPRESSION: 17-AUG-94
 PROJET: 856
 PAGE 1

NUMÉRO DE L'ÉCHANTILLON	ÉLÉMENT UNITÉS	Au30 PPB	Cu PPM	Ag PPM	As PPM	NUMÉRO DE L'ÉCHANTILLON	ÉLÉMENT UNITÉS	Au30 PPB	Cu PPM	Ag PPM	As PPM
51380-M		1920	19	0.6	>10000	55614-M		34	2	0.2	290.0
51381-M		8	6	0.2	54.0	55615-M		143	8	0.4	5250.0
51382-M		57	7	0.3	73.0	55616-M		234	16	0.3	>10000
51383-M		1500	18	1.0	>10000	55617-M		530	13	0.5	>10000
51384-M		9	6	0.2	68.0	55618-M		6	3	<0.1	429.0
51385-M		52	21	0.9	391.0	55619-M		14	6	0.1	894.0
51386-M		503	10	0.4	1310.0						
51387-M		9	5	0.1	50.0						
51388-M		334	24	0.5	5190.0						
51389-M		5	2	0.1	84.0						
51390-M		386	17	0.5	7380.0						
51391-M		1053	17	0.6	>10000						
51392-M		1700	27	1.1	>10000						
51393-M		18	4	<0.1	614.0						
51394-M		<5	17	<0.1	191.0						
51401-M		53	20	0.2	343.0						
51402-M		734	9	0.4	>10000						
51403-M		559	15	0.6	>10000						
51404-M		1253	2	0.5	>10000						
51405-M		528	3	0.3	>10000						
51406-M		4020	21	2.0	>10000						
51407-M		3340	26	1.4	>10000						
51408-M		14	7	<0.1	245.0						
51409-M		6	4	<0.1	430.0						
51410-M		<5	4	0.1	123.0						
51411-M		91	80	0.4	153.0						
51412-M		7	4	0.2	157.0						
51413-M		21	72	0.4	161.0						
51414-M		162	2520	0.4	132.0						
55603-M		25	8	<0.1	121.0						
55604-M		32	10	<0.1	179.0						
55605-M		15	15	0.2	144.0						
55606-M		<5	4	<0.1	29.0						
55607-M		<5	6	<0.1	70.0						
55608-M		<5	3	<0.1	4.8						
55609-M		<5	2	0.1	5.6						
55610-M		<5	6	0.1	44.0						
55611-M		<5	3	0.2	11.0						
55612-M		1329	4	0.3	>10000						
55613-M		173	6	0.4	1250.0						

RAPPORT: C94-61159.0 (COMPLET)

DATE DE L'IMPRESSION: 11-AUG-94

PROJET: 856

PAGE 1

NUMÉRO DE L'ÉCHANTILLON	ÉLÉMENT UNITÉS	Au30 PPB	Cu PPM	Ag PPM	As PPM
55601		<5	7	0.1	168.0
55602		176	1850	0.6	172.0
55620		563	55	0.6	>10000
55621		956	62	0.4	259.0
55622		28	10	0.4	205.0

ANNEXE 3

DESCRIPTION DES RAINURES

DESCRIPTION DES RAINURES

RAINURE N° 1 :

51301	0.5 m	RUBANNÉ, CARB. FER?, Tr. Py
51302	0.5 m	BRÉCHIQUE, Sil, 1-2% Py
51303	0.6 m	BRÉCHIQUE, veinules discordantes 1-2% Py.

RAINURE N° 2 :

51304	0.5 m	RUBANNÉ Qtz+MT, fractures oxydées
51305	0.5 m	(idem 51304) Tr. Py
51306	0.8 m	Rubanné, Bréchiq., silicifié

RAINURE N° 3 :

51307	0.5 m	veinules Qtz disc., 1-2% Py disséminée
51308	0.5 m	MAGNÉTITE AVEC ZONES SILICIFIÉES
51309	0.3 m	Rubanné mm, Qtz+MT

RAINURE N° 4 :

51310	0.7 m	RUBANNÉ Qtz+MT, 1% Py diss.
-------	-------	-----------------------------

RAINURE N° 5 :

51311	0.45 m	BRÉCHIQUE, 2-3% Py diss., 5% Amph.
-------	--------	------------------------------------

RAINURE N° 6 :

51312	0.5 m	80% MT, 1% Py
51313	0.5 m	RUBANNÉ Qtz+MT, ± Amph., 1-2% Py

RAINURE N° 7 : 51314 [0.6m Qtz + Mt + Amph., 1-2% Py

RAINURE N° 8 : 51315 [0.7m (idem 51314)

RAINURE N° 9 : 51316 [0.5m SILICIFIÉ
51317 [0.6m (idem 51316)

RAINURE N° 10 : 51318 [0.5m CISAILLÉ, loc. silicifié, Tr. Py.
51319 [0.5m RUBANNÉ Qtz + Mt
51320 [0.5m RUBANNÉ, Altérée (Amph), 1-2% Py.

RAINURE N° 11 : 51321 [0.5m
51322 [0.5m
51323 [0.5m
51324 [0.5m
51325 [0.5m
51326 [0.5m
51327 [0.75m

} ZONE très CARBONATÉE (Fe), très très oxydée, 1-2% Py en AMAS, très peu de Mt.

RAINURE N°12 :

51343	0.7m	5% Py.
51342	0.5m	RUBANNÉ, PLISSOTÉ, Qtz+MT
51341	0.5m	RUBANNÉ, Qtz+MT (cm), Tr. Py.
51340	0.7m	RUBANNÉ, Qtz+MT
51339	0.5m	RUBANNÉ Qtz+MT
51338	0.5m	RUBANNÉ Qtz+MT
51337	0.5m	RUBANNÉ Qtz+MT (1à2cm), loc. 5% Py.
51344	0.8m	RUBANNÉ Qtz+MT, oxydation veinules disc.
51345	0.5m	(idem 51344), + Amph, 1-2% Py
51346	0.5m	Plus ALTÉRÉ (Amph.), 2-3% Py.
51347	0.5m	Très ALTÉRÉ, 5% Py, Tr. Aspy, veinules Py discordantes.
51348	0.5m	(idem 51347), 5-7% Py.
51349	0.5m	+ RUBANNÉ Qtz+MT, 1-2% Py
51350	0.5m	RUBANNÉ Qtz+MT+Amph, Tr. Aspy, 10% Py
51351	0.5m	1-2% Py.
51352	1.0m	(idem 51351)

RAINURE N°13 :

↳ Extension de la
Tranchée No2)

51353	0.6m	} Zone SiliciFiée, ± RUBANNÉ (Qtz+MT), 7 à 10% Py (localement MASSIF), 1-5% Aspy, 10% de vei- nules de Py discordantes
51354	0.3m	
51355	0.6m	

RAINURE N° 14 :

51367	0.5m	RUBANNÉ QTZ+MT (Amph.), 3-5% Py loc.
51368	0.5m	RUBANNÉ, BRÉCHIQUE, 10% Py, <1% Aspy.
51369	0.5m	RUBANNÉ, OXYDÉ
51370	0.5m	BRÉCHIQUE, 3-5% Py
51371	0.8m	RUBANNÉ QTZ+MT
51372	0.5m	BRÉCHIQUE, 10% Py, 3% Aspy
51373	0.5m	BRÉCHIQUE, VEINE QTZ, 10% Py, 1-2% Aspy localement.
51374	0.5m	BRÉCHIQUE, SILICIFIÉ, 1-2% Py, 2-3% Aspy
51375	0.5m	RUBANNÉ QTZ+MT
51376	0.5m	RUBANNÉ, PLISSÉ
51377	0.5m	RUBANNÉ, SCHISTE MINÉRALISÉ 5-7% Py
51378	0.5m	RUBANNÉ, BRÉCHIFIÉ, 5% Py
51379	0.5m	BRÉCHIQUE, QTZ, 10% Py, Aspy?

RAINURE N° 15 :

55603	0.5m	
55604	0.5m	
55605	0.5m	PAS DE DESCRIPTION!
55606	0.5m	
55607	0.5m	

RAINURE N°16 :

55608	0.5m
55609	0.5m
55610	0.5m
55611	0.7m

PAS de description !

RAINURE N°17 :

55612	0.5m
55613	0.5m
55614	0.6m

idem !

RAINURE N°18 :

55615	0.5m
55616	0.5m
55617	0.5m
55618	0.7m
55619	0.7m

idem !